

**РЕАКЦИЯ УПРУГОЙ ЦИЛИНДРИЧЕСКОЙ ОБОЛОЧКИ
 НА ИМПУЛЬСНОЕ ВОЗДЕЙСТВИЕ**

В современной технике часто используются тонкостенные оболочки и конструкции. Поэтому задачи динамики оболочек получили широкое распространение. Достаточно исследованы, например, задачи взаимодействия деформируемых тел с окружающей средой. Обзоры работ в этом направлении содержатся в [1,2]. При решении некоторых динамических задач в качестве уравнений, описывающих поведение оболочки, используются уравнения, основанные на гипотезах Кирхгофа–Лява. Однако, в тех случаях, когда динамические процессы в оболочках связаны с распространением волн, т.е. когда речь идет о процессах, возникающих в результате действия нагрузок ударного типа (например, при взрывных процессах и импульсных воздействиях, что бывает, в частности, при возникновении природных и техногенных катастроф), следует применять уравнения типа Тимошенко, учитывающие инерцию вращения и влияние поперечного сдвига [3,4] и являющиеся, с математической точки зрения, уравнениями гиперболического типа. В настоящей работе рассматривается задача об импульсном воздействии на бесконечную тонкую упругую цилиндрическую оболочку кругового сечения, находящуюся в вакууме и описываемую уравнениями типа Тимошенко. Для малых времен получено асимптотическое решение задачи.

1. Постановка задачи. Рассмотрим в линейной постановке тонкую упругую бесконечную цилиндрическую оболочку (фиг. 1), подверженную импульсному нагружению на S – части ее боковой поверхности. В рамках оболочечных уравнений типа Тимошенко, учитывающих инерцию вращения и деформацию поперечного сдвига, поведение оболочки в вакууме описывается следующей системой уравнений в безразмерных переменных [4]:

$$\begin{aligned} & \left[(1+a^2) \left(\frac{\partial^2}{\partial \Theta^2} - k^2 \right) + \sigma_1 \frac{\partial^2}{\partial z^2} - \frac{\partial^2}{\partial \tau^2} \right] u_1 + \\ & + \left[a^2 \left(-\frac{\partial^2}{\partial \Theta^2} + \sigma_1 \frac{\partial^2}{\partial z^2} + k^2 - \frac{\partial^2}{\partial \tau^2} \right) + k^2 \right] u_2 + \end{aligned} \tag{1.1}$$

$$+ \left[(1+a^2)(1+k^2) \frac{\partial}{\partial \Theta} \right] u_3 + \sigma_2 \frac{\partial^2}{\partial \Theta \partial z} u_4 = 0$$

$$\begin{aligned} & \left[a^2 \left(-\frac{\partial^2}{\partial \Theta^2} + \sigma_1 \frac{\partial^2}{\partial z^2} + k^2 - \frac{\partial^2}{\partial \tau^2} \right) + k^2 \right] u_1 + \\ & + \left[a^2 \left(\frac{\partial^2}{\partial \Theta^2} + \sigma_1 \frac{\partial^2}{\partial z^2} - k^2 - \frac{\partial^2}{\partial \tau^2} \right) - k^2 \right] u_2 - \end{aligned} \tag{1.2}$$

$$\begin{aligned}
 & -[(1+a^2)k^2+a^2]\frac{\partial}{\partial\Theta}u_3+a^2\sigma_z\frac{\partial^2}{\partial\Theta\partial z}u_5=0 \\
 & \left[(1+a^2)(1+k^2)\frac{\partial}{\partial\Theta}\right]u_1-[(1+a^2)k^2+a^2]\frac{\partial}{\partial\Theta}u_2+ \\
 & +\left[(1+a^2)\left(-k^2\frac{\partial^2}{\partial\Theta^2}+1\right)-k^2\frac{\partial^2}{\partial z^2}+\frac{\partial^2}{\partial t^2}\right]u_3+v\frac{\partial}{\partial z}u_4-k^2\frac{\partial}{\partial z}u_5=0
 \end{aligned} \tag{1.3}$$

$$\begin{aligned}
 & \sigma_z\frac{\partial^2}{\partial\Theta\partial z}u_1+v\frac{\partial}{\partial z}u_3+\left[(1+a^2)\sigma_1\frac{\partial^2}{\partial\Theta^2}+\frac{\partial^2}{\partial z^2}-\frac{\partial^2}{\partial\tau^2}\right]u_4+ \\
 & +\left[a^2\left(-\sigma_1\frac{\partial^2}{\partial\Theta^2}+\frac{\partial^2}{\partial z^2}-\frac{\partial^2}{\partial\tau^2}\right)\right]u_5=0
 \end{aligned} \tag{1.4}$$

$$\begin{aligned}
 & a^2\sigma_z\frac{\partial^2}{\partial\Theta\partial z}u_2-k^2\frac{\partial}{\partial z}u_3+\left[a^2\left(-\sigma_1\frac{\partial^2}{\partial\Theta^2}+\frac{\partial^2}{\partial z^2}-\frac{\partial^2}{\partial\tau^2}\right)\right]u_4+ \\
 & +\left[a^2\left(\sigma_1\frac{\partial^2}{\partial\Theta^2}+\frac{\partial^2}{\partial z^2}-\frac{\partial^2}{\partial\tau^2}\right)\right]u_5=0
 \end{aligned} \tag{1.5}$$

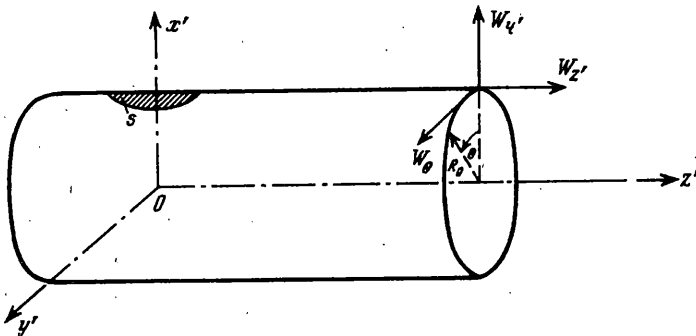
$$r=r'/R_0, \quad x=x'/R_0, \quad y=y'/R_0, \quad z=z'/R_0$$

$$x=r\cos\Theta, \quad y=r\sin\Theta, \quad \tau=\frac{c_{10}t}{R_0}, \quad u_1=\frac{W_\Theta}{R_0}$$

$$u_3=\frac{W_{r'}}{R_0}, \quad u_4=\frac{W_{z'}}{R_0}, \quad k=\frac{c_{20}}{c_{10}}, \quad c_{10}^2=\frac{E}{\rho_1(1-\nu^2)}$$

$$c_{20}^2=\frac{Ek_T}{2\rho_1(1+\nu)}, \quad a=\frac{h}{R_0\sqrt{12}}, \quad \sigma_1=\frac{1-\nu}{2}, \quad \sigma_2=\frac{1+\nu}{2}$$

Здесь x', y', z' – неподвижные декартовы координаты; t – время; r', Θ, z' – цилиндрические координаты; $W_\Theta, W_{r'}, W_{z'}$ – перемещения точки, лежащей на срединной поверхности, вдоль осей Θ, r' и z' ; u_2, u_5 – углы поворота нормалей к срединной поверхности оболочки в плоскостях $r'\Theta$ и $r'z'$; ρ_1 – плотность материала оболочки; R_0, h – радиус срединной поверхности оболочки и ее толщина, c_{10}, c_{20} – скорости распространения фронтов волн по срединной поверхности оболочки, k_T – численный



Фиг. 1

коэффициент сдвига; ν, E – коэффициент Пуассона и модуль Юнга материала оболочки. Начальные условия таковы:

$$\begin{aligned} u_1 = u_2 = u_3 = u_4 = u_5 = 0 \quad (\tau = 0) \\ \partial u_1 / \partial \tau = \partial u_2 / \partial \tau = \partial u_4 / \partial \tau = \partial u_5 / \partial \tau = 0 \quad (\tau = 0) \\ \partial u_3 / \partial \tau = -V \cos \Theta H(f(z, \Theta)) \quad (\tau = 0) \\ V = V_1 / c_{10}, \quad c_{10} = \sqrt{E / \rho_1 (1 - \nu^2)} \end{aligned} \quad (1.6)$$

где V_1 – размерная скорость, $f(z, \Theta) > 0$ – неравенство, определяющее область S на поверхности оболочки, в точках которой в момент $\tau = 0$ приложена скорость $\partial u / \partial t = V \cos \Theta$. Вне области S имеем $f(z, \Theta) < 0$; $H(x)$ – функция Хевисайда от аргумента x .

2. Аналитическое решение. Применим к системе (1.1)–(1.5) преобразование Лапласа по τ :

$$\bar{u}_k(s, z, \Theta) = \int_0^{\infty} u_k(\tau, z, \Theta) e^{-s\tau} d\tau, \quad \operatorname{Re} s > 0 \quad (k = 1-5)$$

с учетом начальных условий (1.6), а затем преобразование Фурье по z :

$$\bar{u}_k^*(s, p, \Theta) = \frac{1}{\sqrt{2\pi}} \int_{-\infty}^{\infty} \bar{u}_k(\tau, z, \Theta) e^{ipz} dz, \quad |\operatorname{Im} p| < \operatorname{Re} s$$

и, наконец, конечное преобразование Фурье по углу Θ :

$$\bar{u}_{kn}^*(s, p) = \frac{1}{\pi} \int_{-\pi}^{\pi} \bar{u}_k^*(s, p, \Theta) e^{in\Theta} d\Theta \quad (n = 0, 1, 2, \dots)$$

Полагая при этом, что $f(z, \Theta)$ является четной функцией Θ , будем искать решение для u_1, u_2 как нечетных по Θ функции, а для u_3, u_4, u_5 – как четных функций Θ . Тогда следует учесть, что

$$u_1 = u_2 = \frac{\partial u_3}{\partial \Theta} = \frac{\partial u_4}{\partial \Theta} = \frac{\partial u_5}{\partial \Theta} = 0 \quad (\Theta = \pm\pi)$$

В результате преобразования Фурье по Θ от функций \bar{u}_1^* и \bar{u}_2^* свелись бы к преобразованиям:

$$U_k = (-i) \bar{u}_{kn}^*(s, p) = \frac{2}{\pi} \int_0^{\pi} \bar{u}_k^*(s, p, \Theta) \sin n\Theta d\Theta \quad (k = 1, 2)$$

а от функций \bar{u}_{kn}^* ($k = 3-5$) – к преобразованиям

$$U_k = \bar{u}_{kn}^*(s, p) = \frac{2}{\pi} \int_0^{\pi} \bar{u}_k^*(s, p, \Theta) \cos n\Theta d\Theta \quad (k = 3-5)$$

Тогда система (1.1–1.5) после применения преобразований и деления первых двух уравнений на i свелась к алгебраической системе:

$$\sum_{j=1}^5 a_{jk} U_j = b_k \quad (k = 1-5) \quad (2.1)$$

$$b_1 = b_2 = b_4 = b_5 = 0$$

$$b_3 = \Phi_n \left(= \frac{1}{\pi \sqrt{2\pi}} \int_{-\pi}^{\pi} e^{in\Theta} d\Theta \int_{-\infty}^{\infty} \frac{\partial u_3}{\partial \tau} e^{ipz} dz \right)$$

$$\begin{aligned}
a_{11} &= -[(1+a^2)(n^2+k^2)+\sigma_1 p^2+s^2] \\
a_{12} &= a^2[n^2+k^2-s^2-\sigma_1 p^2]+k^2 \\
a_{13} &= -(1+a^2)(1+k^2)n, \quad a_{14} = \sigma_2 n i p, \quad a_{15} = 0 \\
a_{21} &= a^2[n^2+k^2-s^2-\sigma_1 p^2]+k^2 \\
a_{22} &= -a^2[n^2+k^2+s^2+\sigma_1 p^2]-k^2 \\
a_{23} &= n[(1+a^2)k^2+a^2], \quad a_{24} = 0, \quad a_{25} = a^2 \sigma_2 n i p \\
a_{31} &= n(1+a^2)(1+k^2), \quad a_{32} = -n[(1+a^2)k^2+a^2] \\
a_{33} &= (1+a^2)(1+k^2 n^2)+s^2+k^2 p^2, \quad a_{34} = -v i p \\
a_{35} &= k^2 i p, \quad a_{41} = -\sigma_2 n i p, \quad a_{42} = 0, \quad a_{43} = -v i p \\
a_{44} &= -[(1+a^2)n^2+p^2+s^2], \quad a_{45} = a^2[\sigma_1 n^2-p^2-s^2] \\
a_{51} &= 0, \quad a_{52} = -a^2 \sigma_2 n i p, \quad a_{53} = k^2 i p \\
a_{54} &= a^2[\sigma_1 n^2-p^2-s^2], \quad a_{55} = -a^2[\sigma_1 n^2+p^2+s^2]
\end{aligned} \tag{2.2}$$

Решая систему (2.1), находим для \bar{u}_{3n}^* выражение:

$$\bar{u}_{3n}^* + U_3 = \frac{\Phi_n}{\nabla_n} \tilde{\nabla}_3 \tag{2.3}$$

где ∇_n – определитель системы (2.1) ($\nabla_n \equiv |a_{ik}|$), а $\tilde{\nabla}_3$ определяется выражением

$$\tilde{\nabla}_3 = \begin{vmatrix} a_{11} & a_{12} & a_{14} & a_{15} \\ a_{21} & a_{22} & a_{24} & a_{25} \\ a_{41} & a_{42} & a_{44} & a_{45} \\ a_{51} & a_{52} & a_{54} & a_{55} \end{vmatrix} \tag{2.4}$$

Представляет интерес случай точечного сосредоточенного воздействия при $\tau = 0$ (сосредоточенного импульса), когда при $S \rightarrow 0$ $V S \rightarrow K = \text{const}$. В этом случае начальное условие для $\partial u_3 / \partial \tau$ в (1.6) принимает вид

$$\partial u_3 / \partial \tau = -K \delta(\Theta) \delta(z) \quad (\tau = 0) \tag{2.5}$$

В результате, (2.3) в этом случае приводится к виду

$$\bar{u}_{3n}^* = -\frac{K}{\nabla_n} \tilde{\nabla}_3 \frac{1}{\pi} \frac{1}{\sqrt{2\pi}} \tag{2.6}$$

где $\tilde{\nabla}_3$ и ∇_n определяются в (2.3) и (2.4). В (2.6) для параметров преобразований s и p имеем

$$\text{Re } s > 0, \quad |\text{Im } p| < \text{Re } s \tag{2.7}$$

Для изображения по Лапласу $\bar{u}_3 \equiv \bar{u}_3(s, z, \Theta)$ с помощью (2.6) получаем

$$\bar{u}_3 = -\frac{K}{\pi \sqrt{2\pi}} \frac{1}{\sqrt{2\pi}} \int_{-\infty}^{\infty} e^{-i p z} \left[\sum_{k=0}^{\infty} \left(1 - \frac{\delta_{0n}}{2} \right) \frac{\tilde{\nabla}_3}{\nabla_n} \cos n \Theta \right] dp \tag{2.8}$$

где $\delta_{0n} = 1$ ($n = 0$), $\delta_{0n} = 0$ ($n \neq 0$). Применяя к (2.8) обратное преобразование по s , получаем формальное решение задачи:

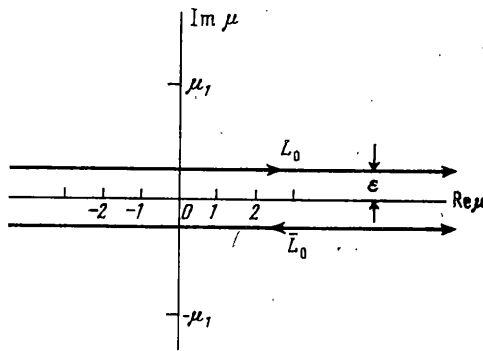
$$u_3(\tau, z, \Theta) = \frac{1}{2\pi i} \int_{\varepsilon - \pi\infty}^{\varepsilon + \pi\infty} \bar{u}_3 e^{s\tau} ds, \quad (\varepsilon > 0) \quad (2.9)$$

3. Асимптотика решения для малых времен. Поскольку при ударных воздействиях особенно важен начальный этап, то для получения асимптотики решения $u_3(\tau, z, \Theta)$ при $\tau \rightarrow 0$ найдем асимптотику $\bar{u}_3(\tau, z, \Theta)$ из (2.8) при $s \rightarrow \infty$. Можно показать, что

$$\frac{\bar{V}_3}{V_n} = \frac{1}{(1+a^2)(1+k^2n^2)+s^2+k^2p^2} [1+f_0(s, p, n)] \quad (3.1)$$

$$|f_0(s, p, n)| < \frac{M_0}{(|p|^2+M_1)(n^2+M_2)|s|^2} \quad (|s| \rightarrow \infty) \quad (3.2)$$

Следовательно, для исследования поведения решения $u_3(\tau, z, \Theta)$ при малых τ доста-



Фиг. 2

точно исследовать поведение (2.8) при $s \rightarrow \infty$, когда в (3.1) функцией $f(s, p, n)$ пренебрегают, т.е. необходимо при $s \rightarrow \infty$, рассмотреть интеграл

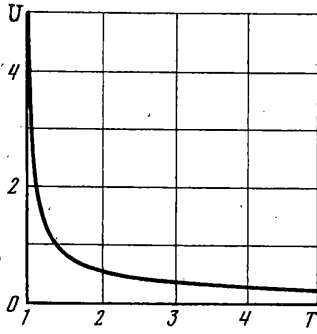
$$\bar{u}_3(s, z, \Theta) = \frac{-K}{2\pi^2} \int_{-\infty}^{\infty} e^{-ipz} \left[\sum_{n=0}^{\infty} \frac{(1-\delta_{0n}/2) \cos n\Theta}{(1+a^2)(1+k^2n^2)+s^2+k^2p^2} \right] dp \quad (3.3)$$

С помощью преобразования Зоммерфельда – Ватсона [5] ряд в (3.3) преобразуем в контурный интеграл (фиг. 2) и тогда \bar{u}_3 из (3.3) принимает вид ($-\pi < \Theta < \pi$):

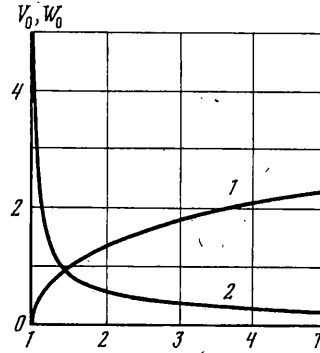
$$\bar{u}_3(s, z, \Theta) = \frac{K}{8\pi^2 i} \int_{-\infty}^{\infty} e^{-ipz} dp \int_{L_0 + \bar{L}_0} \frac{\cos[(\pi - |\Theta|)\mu] d\mu}{[(1+a^2)(1+k^2\mu^2)+s^2+k^2p^2] \sin \pi\mu} \quad (3.4)$$

где контур $L_0(\bar{L}_0)$ проходит в полосе $0 < I_m \mu < I_m \mu_1$ ($-I_m \mu_1 < I_m \mu < 0$), а $\mu_1, (-\mu_1)$ – корни уравнения $(1+a^2)(1+k^2\mu^2)+s^2+k^2p^2=0$. Учитывая четность подынтегральной функции по μ , можно формулу (3.4) переписать в виде интеграла по верхнему контуру L_0 ($|\Theta| < \pi$):

$$\bar{u}_3(s, z, \Theta) = \frac{K}{4\pi^2 i} \int_{-\infty}^{\infty} e^{-ipz} dp \int_{L_0} \frac{\cos[(\pi - |\Theta|)\mu] d\mu}{[(1+a^2)(1+k^2\mu^2)+s^2+k^2p^2] \sin \pi\mu} \quad (3.5)$$



Фиг. 3



Фиг. 4

Поскольку за контур L_0 можно взять прямую $(-\infty + \varepsilon i, +\infty + \varepsilon i)$, где $\varepsilon > 0$ (Фиг. 2), то раскладывая $\cos[(\pi - |\Theta|)\mu]/\sin \pi\mu$ по степеням убывающих экспонент, получаем

$$\frac{\cos[(\pi - |\Theta|)\mu]}{\sin \pi\mu} = -ie^{|\Theta|\mu i} [1 + e^{2(\pi - |\Theta|)\mu i} + e^{2\pi\mu i} + O(e^{2(2\pi - |\Theta|)\mu i})] \quad (3.6)$$

Считая для простоты, что s является действительной положительной величиной, заменяя переменную p на η ($p = s\eta$) и заменяя переменную μ на ζ ($\mu = s\zeta$), приводим (3.5) с учетом (3.6) к следующему виду:

$$\bar{u}_3(s, z, \Theta) = \frac{-K}{4\pi^2} \int_{-\infty}^{\infty} e^{-is\eta z} d\eta \int_{l_0} \frac{e^{|\Theta|s\zeta i} [1 + e^{2(\pi - |\Theta|)s\zeta i} + e^{2\pi s\zeta i} + O(e^{2(2\pi - |\Theta|)s\zeta i})] d\zeta}{(1 + a^2)k^2\zeta^2 + k^2\eta^2 + 1 + (1 + a^2)/s^2} \quad (3.7)$$

где контур l_0 проходит параллельно действительной оси от $-\infty$ до $+\infty$, но выше нее ($\text{Im } \zeta > 0$). Учитывая, что вычеты в интеграле по ζ в нулях знаменателя приводят к тому, что экспоненты в квадратных скобках в числителе приводят к запаздыванию (т.е. дают волны, которые приходят в рассматриваемую точку оболочки z , при $\tau > 2\pi - |\Theta|$), то при $\tau < 2\pi - |\Theta|$ ($|\Theta| < \pi$), следует оставить в квадратной скобке только единицу. Пренебрегая также членом $(1 + a^2)/s^2$ в знаменателе в (3.7) (ибо он при $\tau \rightarrow 0$ приводит к члену порядка $O(\tau^2)$ по сравнению с оставшимися), окончательно приводим (3.7) к интегралу

$$\bar{u}_3(s, z, \Theta) = \frac{-K}{4\pi^2} \int_{-\infty}^{\infty} e^{-is\eta z} d\eta \int_{l_0} \frac{e^{|\Theta|s\zeta i} d\zeta}{(1 + a^2)k^2(\zeta - \zeta_1 i)(\zeta + \zeta_1 i)} \quad (3.8)$$

$$\zeta_1 = \sqrt{(1 + k^2\eta^2)/(1 + a^2)k^2} > 0$$

Деформируя контур l_0 в области $\text{Im } \zeta > 0$ и учитывая при этом вычет в точке $\zeta_1 i$, получаем интеграл, который с учетом четности по z и можно представить в виде

$$\begin{aligned} \bar{u}_3(s, z, \Theta) &= \frac{-K}{4\pi k \sqrt{1 + a^2}} \int_{-\infty}^{\infty} \frac{e^{-(|z| + |\Theta|\zeta_1)s} d\eta}{\sqrt{1 + k^2\eta^2}} = \\ &= \frac{-K}{2\pi k^2 \sqrt{1 + a^2}} K_0 \left[sk^{-1} \sqrt{z^2 + \frac{\Theta^2}{1 + a^2}} \right] \end{aligned} \quad (3.9)$$

где $K_0(x)$ — функция Макдональда нулевого порядка от x . Применяя обратное преобразование Лапласа по s , получаем

$$u_3(\tau, z, \Theta) = \frac{-K}{2\pi k^2 \sqrt{1+a^2}} \frac{H(\tau - k^{-1} \sqrt{z^2 + \Theta^2} / (1+a^2))}{\sqrt{\tau^2 - k^{-2}(z^2 + \Theta^2) / (1+a^2)}} \quad (3.10)$$

Интегрируемая математическая особенность на фронте волны, идущей от точки возмущения $\Theta = 0, z = 0$, связана с идеализированным характером приложенного сосредоточенного воздействия (сосредоточенный импульс). График (3.10) представлен на фиг. 3. Здесь

$$T = \frac{\tau k \sqrt{1+a^2}}{\sqrt{\Theta^2 + (1+a^2)z^2}}, \quad U = -\frac{2\pi k \sqrt{\Theta^2 + (1+a^2)z^2}}{K} u_3$$

В случае же внезапно приложенной сосредоточенной силы (когда условие (2.5) заменяется нулевым условием $\partial u_3 / \partial \tau = 0$ ($\tau = 0$), а в правой части уравнения (1.3) добавляется сосредоточенная в точке воздействие (сила) F_3 , где $F_3 = -KH(\tau)\delta(\Theta)\delta(z)$, решение при $\tau \rightarrow 0$ для u_3 получается из (3.10) интегрированием по τ от 0 до ∞ :

$$u_3(\tau, z, \Theta) = \frac{-K}{2\pi k^2 \sqrt{1+a^2}} \ln \left(\frac{\tau k}{\sqrt{z^2 + \Theta^2} / (1+a^2)} + \sqrt{\frac{\tau^2 k^2}{z^2 + \Theta^2} - 1} \right) \times \\ \times H \left(\frac{\tau k}{\sqrt{z^2 + \Theta^2} / (1+a^2)} - 1 \right) \quad (3.11)$$

Как видно из (3.11), в рассматриваемой точке, не совпадающей с точкой приложенного воздействия, прогиб на фронте непрерывен, в то время как скорость прогиба $\partial u_3 / \partial \tau$, описываемая правой частью формулы (3.10) имеет на фронте особенность вида $\varepsilon^{-1/2}$. Графики прогиба V_0 (3.11) (кривая 1) и скорости прогиба W_0 (кривая 2) представлены на фиг. 4. Здесь T то же, что и на фиг. 3; $V_0 = -2\pi k^2 \sqrt{1+a^2} u_3 / K$, $W_0 = \partial V_0 / \partial T$. Заметим, что в (3.10), (3.11) получены старшие члены асимптотик. Дальнейшие члены асимптотик при $\tau \rightarrow 0$ можно искать, оставляя следующие по порядку члены асимптотики при $s \rightarrow \infty$ ($\text{Re } s > 0$) в (3.1). Аналогичным образом можно искать асимптотики при малых τ для других функций u_1, u_2, u_4, u_5 .

Работа выполнена при содействии РФФИ (проект 98-01-00779).

СПИСОК ЛИТЕРАТУРЫ

1. Вестяк А.В., Горшков А.Г., Тарлаковский Д.В. Нестационарное взаимодействие деформируемых тел с окружающей средой // Итоги науки и техники. Механика деформируемого твердого тела. М.: ВИНТИ, 1983. Т. 5. С. 69–148.
2. Гузь А.Н., Кубенко В.Д. Методы расчета оболочек. Теория нестационарной аэрогидроупругости оболочек. Т. 5. Киев: Наук. думка, 1982. 400 с.
3. Григолюк Э.И., Селезов И.Т. Неклассические теории колебаний стержней, пластин и оболочек // Итоги науки и техники. Сер. Механика твердых деформируемых тел. Т. 5. М.: ВИНТИ, 1973. 272 с.
4. Метсавээр Я.А., Векслер Н.Д., Стулов А.С. Дифракция акустических импульсов на упругих телах. М.: Наука, 1979. 239 с.
5. Хенл Х., Мауэ А., Вестфаль К. Теория дифракции. М.: Мир, 1964. 424 с.